

Re-F



1963

XeOF<sub>3</sub>XeOF<sub>4</sub>

Gaseous fluorides of xenon. Martin H. Studier and Eric N. Sloth (Argonne Natl. Lab., Argonne, Ill.). *J. Phys. Chem.* 67, 925-6 (1963). A time-of-flight mass spectrometer was used to verify the existence of XeF<sub>4</sub>. In the same expts., an independent species more volatile than XeF<sub>4</sub> was observed and identified as XeF<sub>2</sub>. In addn., some oxyfluorides were seen. The mass spectra indicated that both XeOF<sub>3</sub> and XeOF<sub>4</sub> may have an independent existence. The presence of XeOF<sub>4</sub> suggests that XeF<sub>6</sub> exists.

Bernard Porter

C.A. 1963-58-13

13417a

Xe - coadunus

1963

Xe - F

Xe - F - O

The use of infrared spectroscopy in the preparation and study of xenon compounds. D. F. Smith. *Noble-Gas Compds.* 1963, 39-46(Eng). A circulating loop contg. an ir cell located in a spectrophotometer beam has been described. When a Xe-F mixt. was circulated in the system, the temp. increased slowly and the spectrum indicated the formation of  $\text{XeF}_2$ ; this was followed by the formation of  $\text{XeF}_4$ . This latter compd. appeared to result from the reaction of  $\text{XeF}_2$ , produced in the 1st part of the heated zone, with F. Sufficiently pure  $\text{XeF}_2$  could be prep'd. at the rate of 50 mg./hr. Conditions are described for the high production rate of  $\text{XeF}_2$ . The reaction  $\text{XeF}_2 + \text{F}_2 \rightarrow \text{XeF}_4$  in the absence of Xe has also been studied. The loop was also used to detect impurities such as  $\text{XeOF}_4$  in samples of  $\text{XeF}_4$  and  $\text{XeF}_6$ .  $\text{XeF}_6$  gives an ir band abnormally broad at  $610 \text{ cm.}^{-1}$  and a weaker broad band at  $520 \text{ cm.}^{-1}$ ;  $\text{XeOF}_4$  gives a band at

C.A. 1966. 65. 8

11745 efg

608 cm.<sup>-1</sup>, a negligible absorption at 520 cm.<sup>-1</sup>, and a band with strong *Q* branch at 927 cm.<sup>-1</sup> XeF<sub>6</sub> with quartz gave XeOF<sub>4</sub> in the beginning, but later the quartz became inert. A vapor-phase hydrolysis of XeF<sub>6</sub> was also used to prepare XeOF<sub>4</sub> with high yields. XeOF<sub>4</sub> is a clear, colorless liquid, f.p. -41°. The loop was also used to measure the temp. variation of the satd. vapor pressure of XeOF<sub>4</sub> and XeF<sub>6</sub>. The heats of sublimation of XeF<sub>6</sub>, XeF<sub>2</sub>, and XeF<sub>4</sub> are almost the same, but XeOF<sub>4</sub> has a smaller heat; hence, it can be sepd. from the Xe fluorides.

S. Prakash

1963

Pfleiderer  
V. Cetovsky  
(unpublished  
material.  
Conjg.)

Speculation concerning the nature of binding in xenon fluorine compounds. Joshua Jortner, Stuart A. Rice, and E. Guy Wilson (Univ. of Chicago). *J. Chem. Phys.* 38, 2302-3(1963). The bonding in the Xe fluorides was described in terms of delocalized mol. orbitals formed mainly by combination of  $p\sigma$  type Xe and F orbitals. The delocalization model leads to binding if long-range attractive forces are operative. For  $\text{Xe} + \text{F}$ , dispersion forces and charge-transfer forces are predominant at large seprns.

Henry Leidheiser, Jr.

C.A. 1963. 59. 6  
5784 ab

1963

Progress  
Kept up to date

Chemical shifts in xenon fluorides. D. Lazdins, C. W. Kern, and M. Karplus (Columbia Univ.). *J. Chem. Phys.* 39(6), 1611-12(1963). A qual. interpretation is discussed for the chem. shifts of Xe and F in  $\text{XeF}_n$  ( $n = 2(\text{I}), 4(\text{II}), 6(\text{III})$ ) and of Kr and F in  $\text{KrF}_4$  ( $\text{IV}$ ) observed in nuclear magnetic resonance spectra. The formation of highly ionic bonds, which involve primarily the F  $2p$  and the Xe  $5p$  orbitals, is postulated. For such an electronic distribution, the paramagnetic term dominates the chem. shifts of both nuclei; therefore, a Saika-Slichter type valence-bond approach (*CA* 48, 4969g) is used. The paramagnetic shielding of Xe or F is a function of the gross at. population of the valence-shell  $p$  orbital,  $i$  ( $i = x, y, z$ ). Zero-overlap  $\omega$ -type M.O. calens. give the gross charges of Xe and F, resp., as: I 1.156, -0.578; II 2.000, -0.500; III 2.640, -0.440; IV 1.670 (for Kr), -0.418. The relative shielding is then found by the use of the isolated Xe atom and the  $\text{F}_2$  mol. as reference points. This model is consistent with the large Xe shift  $|\Delta\sigma_{\text{Xe}}(\text{II})| > |\Delta\sigma_{\text{Xe}}(\text{I})|$  and the trend  $\Delta\sigma_{\text{F}}(\text{I}) > \Delta\sigma_{\text{F}}(\text{II}) > \Delta\sigma_{\text{F}}(\text{III})$ .

Milton Landy

C.A. 1964. 60. 2

1248d

Xe-F

1963

Class

Some theoretical aspects of bonding in Xe-F compounds.  
Joyce J. Kaufman (RIAS, Inc., Baltimore, Md.). U.S. Dept.  
Com., Office Tech. Serv., AD 295, 125, 8 pp.(1962). From U.S.  
Govt. Res. Rept. 38(9), 9(1963).

TCVD

C.A. 1964. 60. 8  
8880ab

Фрагмент  
Коллек.

статья

3 Д61. Природа связи в фторидах ксенона и родственных молекулах. Coulson C. A. The nature of the bonding in xenon fluorides and related molecules. «J. Chem. Soc.», 1964, Apr., 1442—1454 (англ.)

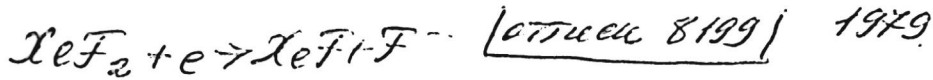
Обзор. Обсуждаются современные теории электронного строения фторидов ксенона. Подробно рассмотрены четыре модели: 1) модель октаэдрич. гибридов; 2) модель, учитывающая эффекты электронной корреляции; 3) молекулярно-орбитальная модель и 4) модель, основанная на методе валентных структур. Первая модель, по мнению автора, неудовлетворительна из-за необходимости промотирования электронов Хе на высшие  $d$ -уровни ( $d^2sp^3$ -октаэдрич. гибриды), что требует слишком большой энергии. Вторая модель, будучи в принципе правильной, не в состоянии объяснить высокую стабильность фторидов ксенона (основную роль в этой модели играют энергетически небольшие эффекты спиновой поляризации). Третья и четвертая модели, как

1964

92 · 1965 · 38

утверждает автор, позволяют дать полуколичеств. объяснение всем имеющимся эксперим. данным о фторидах ксенона, при этом не требуется привлечения радикально новых идей, а достаточно ограничиться уже хорошо разработанной концепцией многоцентровых биталей. Предлагается ряд экспериментов для выяснения расположения уровней энергии в  $\text{XeF}_2$  и  $\text{XeF}_4$ . Кроме того, предложена структура октафторида ксенона  $\text{XeF}_8$  в форме октаэдра с двумя симметричными молекулами-лигандами  $\text{F}_2$ , расположенными под прямым углом к оси  $\text{F}_2-\text{Xe}-\text{F}_2$ .

В. Быховский.



[Lemire 8199] 1979



Begun C. M.  
et al.

Cross-section  
vs. Energy

Jet. J. Mass. Spectr.  
and Ion Phys.,  
1979, 30, 379-382.

Electron collisions with  $XeF_2$ .

Xe HF

Omnuck 12292 ] 1981

4, 17.

/ 95: 141106n Microwave and radio frequency spectra of xenon-hydrogen fluoride. Baiocchi, F. A.; Dixon, T. A.; Joyner, C. H.; Klemperer, W. (Dep. Chem., Harvard Univ., Cambridge, MA 02138 USA). *J. Chem. Phys.* 1981, 75(5), 2041-6 (Eng). The spectroscopic consts. for  $^{129}\text{Xe}$ -HF,  $^{131}\text{Xe}$ -HF,  $^{132}\text{Xe}$ -HF,  $^{129}\text{Xe}$ -HF,  $^{131}\text{Xe}$ -HF, and  $^{132}\text{Xe}$ -HF obtained from mol. beam elec. resonance spectra are given. The structure and weak bond force consts. derived from the spectroscopic consts. are consistent with data on other noble gas-HF complexes. Elec. field gradient at the Xe nucleus for a given HF orientation scales with the elec. field gradient arising from HF.

C.A. 1981, 95, N16.

Xe-HF

Омск 12292 1981

5 Б339. Микроволновый и радиочастотный спектры Xe—HF. Baiocchi F. A., Dixon T. A., Joyner C. H., Klemperer W. Microwave and radio frequency spectra of Xe—HF. «J. Chem. Phys.», 1981, 75, № 5, 2041—2046 (англ.)

Методом электрического резонанса в молекулярном пучке измерены в области частот 4—17 ГГц МВ- и РЧ-спектры  $^{129}\text{Xe}$ —HF (I),  $^{131}\text{Xe}$ —HF (II),  $^{132}\text{Xe}$ —HF (III),  $^{129}\text{Xe}$ —DF (IV),  $^{131}\text{Xe}$ —DF (V),  $^{132}\text{Xe}$ —DF (VI), в основном колебательном состоянии. Анализ спектров выполнен в приближении линейной молекулы с учетом квартичного центробежного искажения,  $^{131}\text{Xe}$ - и D-ядерных квадрупольных взаимодействий и спин-спинового взаимодействия. Для I, II, III, IV, V и VI, соотв., вращательные постоянные равны (в МГц)  $B_0 = 2039,690(4)$ ,  $2035,563(5)$ ,  $2033,552$ ,  $1995,469(5)$ ,  $1991,268(3)$  и  $1989,217(4)$ , а постоянные центробежного искажения (в кГц)  $-D_0 = -18,32(19)$ ,  $18,19(16)$ ,  $18,19$ ,  $15,87(16)$ ,  $15,77(9)$  и  $15,73(14)$ . Постоянные  $^{131}\text{Xe}$ -ядерного для II, V и

X, 1982, 19, NS

$D$ -ядерного для IV, VI квадрупольных взаимодействий, соотв., равны (в МГц)  $-8,589(39)$ ,  $-10,567(27)$ ,  $0,223(19)$  и  $0,223(19)$ . По эффекту Штарка для I и IV, соотв., определены величины дипольных моментов  $\mu = 1,7359(4)$  и  $1,9537(7) D$ . Определены структурные и динамич. параметры комплексов. Для I и IV, соотв., расстояния между атомом Xe и центром масс двухатомной молекулы равны  $r_{\text{ц.м.}} = 3,7772$  и  $3,7339 \text{ \AA}$  и расстояния Xe—F равны  $3,8152$  и  $3,8111 \text{ \AA}$ . При этом углы между осью HF и  $r_{\text{ц.м.}}$  составляют  $35,7$  и  $29,55^\circ$ , соотв. Относит. сила взаимодействия Xe—HF по сравнению с др. комплексами оценена по градиенту электрич. поля вблизи ядра Xe. Установлено, что градиент электрич. поля вблизи Xe пропорционален градиенту поля от HF. По сравнению с комплексом Xe—HCl большая величина градиента электрич. поля для Xe—HF объясняется более высоким дипольным моментом HF и более благоприятным распределением внешнего заряда для поляризации атома Xe.

С. Н. Мурзин

Xe-HF

отиск [12242]

1981

2 Д579. Микроволновый и радиочастотный спектры комплекса Xe-HF. Microwave and radio frequency spectra of Xe-HF. Baiocchi F. A., Dixon T. A., Joupet C. H., Klempereger W. «J. Chem. Phys.», 1981, № 5, 2041—2046 (англ.)

Методом электрического резонанса в молекулярном пучке получен вращательный спектр ван-дер-ваальсового комплекса Xe-HF в диапазоне 4—16,5 ГГц. Идентифицированы линии вращательных переходов с  $J \leq 4$  комплексов Xe-HF и Xe-DF с изотопами  $^{129}\text{Xe}$ ,  $^{131}\text{Xe}$  и  $^{132}\text{Xe}$  в основном колебательном состоянии. Определены значения вращательной постоянной  $B_0$ , центробежной постоянной  $D_0$ , постоянных квадрупольной связи ядер Xe и D ( $eqQ = -8,589$  МГц для  $^{131}\text{Xe}-\text{HF}$ ) и дипольного момента ( $\mu = 1,7359$  ед. Дебая для  $^{127}\text{Xe}-\text{HF}$ ). Полученные результаты сопоставлены с литературными данными для других комплексов инертных газов с галогенидами водорода. Отмечено, что основной вклад в градиент-поля  $q$  на ксеноне дает HF. М. Р. Алиев

м.п;

ф. 1982, 18, № 2.

F+Xe

[Ommeck 14516]

1982

Haberland H.,

CHINORDIT.  
porogen-  
elastomer

Z. Phys., 1982, A307,  
11, 35-39.

Xe·HF

Лонгиск 14211

1982

Hutson J. C., Howard

автоматич.

B. J.,

мембранные.  
ротензии  
45, N.Y., 791-805.

Xe...HDF (DM. 19963) 1984

Legois A.C., Willoughby  
L.C.,

Greenwich:  
no date

Chem. Phys. Lett., 1984,  
109, n.s., 502 - 508.

Xe · HF (OM. 25936) 1986

Fraser G.T., Pine A.S.,

J. Chem. Phys., 1986, 85,

N15, 2502-2515.

Do, M.N.

XeFx  
 $X=2, 4, 6$

1986

5 Д132. Расчеты с помощью релятивистски параметризованного расширенного метода Хюккеля. IX. Итеративный вариант и его применение к некоторым соединениям ксенона, тория и урана. Relativistically parameterized extended Hückel calculations. IX. An iterative version with application to some xenon, thorium and uranium compounds. Larsson Sven, Ру́йккó Pekka. «Chem. Phys.», 1986, 101, № 3, 355—369 (англ.)

Описанный ранее («J. Phys. Chem.», 1984, 88, 4892) релятив. вариант расширенного метода Хюккеля модифицирован для включения самосогласования по зарядам (итеративный вариант). Параметры взяты из расчетов атомов релятив. методом X, и при расчете диагональных матричных элементов учтено кулоновское взаимодействие с зарядами на других атомах. Проведены расчеты  $\text{XeF}_x$ ,  $x=2, 4, 6$ ,  $\text{UO}_2^{2+}$ ,  $\text{UO}_2\text{X}_4^{2-}$ ,  $\text{X}=\text{Cl}$ , F,  $\text{UO}_2\text{F}_6^{4-}$ ,  $\text{UF}_6$ ,  $\text{ThO}_2$ . Для соединений  $\text{Xe}$  зарядовые распределения лучше, чем в неитеративном варианте и приближаются к неэмпирическим. Объяснена линейность.

сп. 1986, 18, N5

15

$\text{UO}_2^{2+}$ ,  $\text{U}_2\text{Cl}_4^{2-}$ ,  $\text{U}_2\text{F}_4^{2-}$ ,

$\text{UO}_2^{2+}$ . Обсуждено влияние дополнительных лигандов.  
Отмечена роль 6р-АО в ядерном квадрупольном взаимо-  
действии для актиноидов в актинилах. Интерпретирован  
рентгеновский фотоэлектронный спектр  $\text{UF}_6$ . Библ. 93.

В. Л. Лебедев



чино

Xe · HF

1986

Legon A.C., Miller D.J.

a.n.

Proc. Roy. Soc. London,  
1986, A 404, 89-99,  
N 1826.

(crys. Ar·HF; III)

$\text{Kef}_5^+$

1986

Sergienko V.I., Kosten  
V.I. ~~&~~ et al.

u.n.

J. Fluor. Chem., 1986,  
32, N 4, 367-378.

(c.c.  $\bullet \text{SbF}_5^{2-}$ ,  $^{\prime\prime\prime}$ )

ХеFF  
ХеDF

ОМ·30353 1988

Краснов Р.С.,  
Сришеппеко Н.В.,

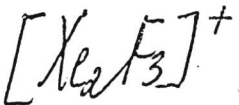
ОНИИТЭХИМ.

Ден. № 378-ХГ-86,  
Черкассы, 1988.

д.н.

(обзор)

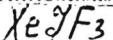
1989



racem  
enantiomeric

(R)  
(T)

C.A.1989, 111,  
N26



111: 240182q Electronic structures of trifluorodixenon(+) and xenon iodide trifluoride. Examples of 5c,6e hypervalent bonding. Dixon, David A.; Arduengo, Anthony J., III; Farnham, William B. (Exp. Stn., Wilmington, DE 19880-0328 USA). *Inorg. Chem.*, 1989, 28(26), 4589-93 (Eng). The electronic structures of known  $[Xe_2F_3]^+$  and unknown  $[XeIF_3]$  are calcd. by using ab initio MO theory with polarized, split-valence basis sets. Geometries are gradient optimized, and force fields are calcd. Both mols. are linear. Calcds. on IF and  $XeF_2$  are also done to aid in the anal. of the results for  $XeIF_3$ . The calcd. and exptl. structures differ in that the exptl. structure is bent at the central fluorine Fe and the Xe-Fe bond distances are calcd. to be 0.09 Å too long. The calcd. vibrational frequencies for  $[Xe_2F_3]^+$  are in reasonable agreement with the exptl. values after scaling. The geometry and frequencies for  $XeIF_3$  show that the mol. consists of interacting IF and  $XeF_2$  fragments. The min. dissocn. energy for  $XeIF_3$  with respect to the two fragments is 17 kcal/mol. The bonding is analyzed in terms of the canonical MOs and in terms of localized MOs detd. by the Boys criteria. The  $\sigma$  bonding in  $[Xe_2F_3]^+$  is a good example of a hypervalent 5c,6e bond. For  $XeIF_3$ , the interaction is smaller and the bonding is not as delocalized although the components of the 5c,6e hypervalent bond are still present. This is clearly demonstrated by the unequal contributions of the  $XeF_2$  and IF fragments to the various  $\sigma$  orbitals.

$\text{XeO}_3\text{F}_2$  1989

Granasekaran S,  
Rangarayake S. et al.

Asian J. Chem. 1989,  
1 (2), 173-7.

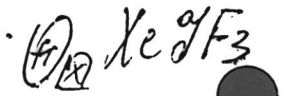
(crys.  $\bullet \text{O}_3\text{O}_3\text{F}_2$ ;  $\text{iii}$ )

Xe<sub>2</sub>F<sub>3</sub><sup>+</sup>

1990

114: 3u276j Electronic structures of dixenon trifluoride cation (1+) and xenon iodide trifluoride. Examples of 5c,6e hypervalent bonding. Fehlner, Thomas P. (Univ. Notre Dame, Notre Dame, IN USA). *Chemtracts: Anal., Phys., Inorg. Chem.* 1990, 2(3), 277-9 (Eng). The title research of D. A. Dixon, et al. (1989) is reviewed with commentary and 10 refs.

некоторые  
свойства



c.A. 1991, 114, N.Y

XeF<sub>6</sub>

1991

Schmitz F., Kutzelnigg W.

et. n.

J. Fluor. Chem. 1991.

54, Nf-3. C. 354.

(cell.  $\bullet$   $\text{ArF}_6$ ; III)

$XeF_7^+$

1993

120: 64838h Heptacoordination: pentagonal bipyramidal heptafluoroxenon(1+)  $XeF_7^+$  and heptafluorotellurate(1-)  $TeF_7^-$  ions. Christe, Karl O.; Dixon, David A.; Sanders, Jeremy C. P.; Schrobilgen, Gary J.; Wilson, William W. (Rocketdyne, Rockwell Int. Corp., Canoga Park, PA 91309 USA). *J. Am. Chem. Soc.* 1993, 115(21), 9461-7 (Eng). The  $TeF_7^-$  anion was studied exptl. by vibrational and  $^{19}F$  and  $^{125}Te$  NMR spectroscopy. Ab initio calcns. employing effective core potentials and d. functional theory calcns. at the self-consistent nonlocal level with the nonlocal exchange potential of Becke and the nonlocal correlation functional of Perdew were used for the anal. of the isoelectronic series  $TeF_7^-$ ,  $IF_7^-$ ,  $XeF_7^+$ . It is shown that  $XeF_7^+$  is a stable structure, that all three members of this series possess a pentagonal bipyramidal equil. geometry, and that from the two closest lying saddle point geometries only the monocapped trigonal prism, but not the monocapped octahedron, is a transition state for the intramol. axial-equatorial ligand exchange. The results from a normal coordinate anal. reveal the existence of an unusual new effect which counteracts the ligand-ligand repulsion effect and its characterized by axial bond stretching encouraging equatorial bond stretching. While in  $TeF_7^-$  the ligand-ligand repulsion effect dominates, in  $XeF_7^+$  the new effect becomes preponderant.

COPYRIGHT  
CMAT UNH

c. fl. 1994, 120, N6

XeF<sub>n</sub>

$n = 1, 2, 4, 6$

1997

126: 321343e Relativistic all-electron Dirac-Fock-Breit calculations on xenon fluorides ( $\text{XeF}_n$ ,  $n = 1, 2, 4, 6$ ). Styszynski, Jacek; Cao, Xiaoping; Malli, Gulzari L.; Visscher, Lucas (Department of Chemistry, Simon Fraser University, Burnaby, BC Can. V5A 1S6). *J. Comput. Chem.* 1997, 18(5), 601-608 (Eng), Wiley. The MOLFDIR package of programs is used to perform fully relativistic all-electron Dirac-Fock and Dirac-Fock-Breit calcns. for the  $\text{XeF}_n$  ( $n = 1, 2, 4, 6$ ) mols. assuming exptl. symmetries. The Xe-F bond length for  $\text{XeF}_2$ ,  $\text{XeF}_4$ , and  $\text{XeF}_6$  is optimized and the total ground-state energies are reported. The variation of the relativistic energy and the Breit correction with the internuclear distance is plotted. The role of relativistic corrections in the proper prediction of the Xe-F distance and the dissocn. energy of the mol. is discussed. The problem of the redn. of the no. of scalar two-electron integrals is studied. Our results illustrate the possibilities, difficulties, and limitations of the finite basis Dirac-Fock calcns. for polyat. mols. of different symmetries.

meoprem  
racrem  
cmnykmynh.  
raparuny.  
u cmasum  
kochner

C.A. 1997, 126, N24

$XeF_7^2$

$\lambda = 112, 416$

$q = -1, 0, +1, +2$

ab initio

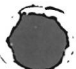
pacrem

cluster,

compukeya,

cmatsoft.

(all



$YF_7^2$ ; II)

Int. J. Quantum Chem.  
2001, 81(3), 238-45

Machado, Francisco B.C.  
et al.,  
2001